

BILJANA BOBIĆ^{1*}, NIKOLA BAJIĆ², ALEKSANDARJEGDIĆ, MAJA STEVANOVIĆ, BORE JEGDIĆ¹¹NU Institut za hemiju, tehnologiju i metalurgiju, Univerzitet u Beogradu, Beograd, ²Razvojno istraživački centar IHIS, Zemun

Naučni rad

UDC:620.194.4

doi:10.5937/ZasMat1503315B



Zastita Materijala 56 (3)

315 - 319 (2015)

Određivanje brzine korozije metala šava u zavarenom spoju pomoću elektrohemijских tehniki

IZVOD

Za određivanje brzine korozije osnovnog metala i metala šava u zavarenom spoju primenjene su elektrohemijiske tehnike: linearna polarizaciona otpornost, voltametrija sa linearnom promenom potencijala i elektrohemijiska impedansna spektroskopija. Uzorci za ispitivanje dobijeni su elektrolu niz zavarivanjem eli nog kotlovske lima, uz upotrebu obloženih baza nih elektroda. Pri zavarivanju je korištena fabrika elektroda i elektrode koje su proizvedene u laboratorijskim uslovima (tanko obložena i debelo obložena bazi na elektroda). Utvrđeno je da je brzina korozije metala šava veća od brzine korozije osnovnog metala. Brzina korozije metala šava dobijenog pomoći u tanko obložene elektrode je manja od brzine korozije metala šava dobijenog pomoći u debelo obložene i fabrike elektrode. Vrednosti za brzinu korozije, određene razliitim elektrohemijiskim tehnikama, su u saglasnosti.

Ključne reči: zavareni spoj, korozija, brzina korozije, elektrohemijiske metode.

1. UVOD

Elektrolučno zavarivanje obloženom elektrodom primjenjuje se za spajanje velikog broja materijala, kao što su ugljeni ni, niskolegirani i visokolegirani elici, livena gvožđa, bakar, nikl, aluminijum i njihove legure. Obložena elektroda za elektrolučni postupak postupak zavarivanja ima metalno jezgro koje prenosi struju, a istovremeno služi kao dodatni materijal. Metalno jezgro je u obliku žice, i jača vrsta i kvalitet zavisi od vrste elektrode. Za nelegirane i niskolegirane elektrode upotrebljava se vuna ena žica od elika sa niskim sadržajem ugljenika, pri čemu sadržaj sumpora i fosfora mora biti što manji. Elektrolučno zavarivanje obloženom elektrodom je postupak spajanja metala topnjom obložene elektrode i dela osnovnog metala u električnom luku koji se uspostavlja i održava između radnog komada (osnovnog metala) i elektrode. Topnjom jezgra elektrode obezbeđuje se dodatni materijal, a topnjom, sagorevanjem i isparavanjem obloge obezbeđuje se zaštita metalne kupke od okoline. Prema hemijskom sastavu, obloga može biti kisela, baza na, celulozna ili rutilna. U zavisnosti od odnosa ukupnog prečnika elektrode (uključujući i oblogu) i prečnika jezgra, obložene elektrode se dele na tanko obložene, srednje obložene i debelo obložene elektrode [1].

Korozija metala šava u zavarenim spojevima ugljeni nih elika je primećena u razliitim slučajevima; od zavarenih elika nih ploča u brodogradnji, preko cevovoda i posuda pod pritiskom, do opreme u industriji nafte i gasa. Otpornost zavarenog spoja prema koroziji zavisi prevashodno od mikrostrukture metala šava i mikrostrukture u zoni uticaja toplotne. Do obrazovanja karakteristične mikrostrukture dolazi usled strukturnih i faznih transformacija tokom zavarivanja. Dodatni materijal, odnosno tip korišćene elektrode značajno utiče na koroziju metala šava [2]. U morskoj vodi brzina korozije metala šava dobijenog primenom obložene baze ne elektrone može biti tri puta veća od brzine korozije metala šava dobijenog primenom rutilne elektrode. Smanjenje brzine korozije metala šava u nekim slučajevima može se postići i dodavanjem legirajućih elemenata tako da metal šava postane katodan u odnosu na susedni osnovni metal [2].

Ispitivanje korozije zavarenih spojeva može se vršiti na različite načine: direktnim ispitivanjem test-kupona u realnim uslovima eksploracije, primenom nedestruktivnih tehniki (ultrazvučna merenja, akustična emisija) ili pomoći u elektrohemijskih tehniki. Korozija metala je elektrohemski proces, pa se različite elektrohemijiske tehnike koriste za proučavanje opštih, lokalizovanih, galvanske, naponske korozije zavarenih spojeva itd. [2].

Cilj ovog rada je da se pomoći u razliitim elektrohemijiskim tehnika odredi brzina korozije osnovnog metala i metala šava, koji je dobijen tokom elektrolučnog zavarivanja, uz korišćenje obloženih

*Autor za korespondenciju: Biljana Bobić, e-mail: biljanabobic@gmail.com

Rad primljen 22. 04. 2015.

Rad prihvaten 16. 06. 2015.

Rad je dostupan na sajtu: www.idk.org.rs/casopis

bazi nih elektroda. Brzina opšte korozije metala šava u ovom radu određena je pomoću sledećih elektrohemiskih tehnika: linearna polarizaciona otpornost (LPR), elektrohemiska impedansna spektroskopija (EIS) i voltametrija sa linearnom promenom potencijala (LSV).

2. EKSPERIMENTALNI DEO

2.1. Materijal

Osnovni materijal je elastični kotlovske lim debljine 10 mm, odnosno toplo valjan elastični lim. Hemski sastav i mehaničke – tehničke osobine definisani su standardom SRPS EN 10028-2: 2010.

Elektrolito no zavarivanje elastičnog lima izvršeno je uz primenu obloženih bazi nih elektroda, sa oblogom različite debljine. Korištena je fabrička obloga.

Tabela 1 - Hemski sastav metala šava

Element mas.%	C	Si	Mn	S	Cr	P	Cu	Ni	Mo	Ti	Al
TOE*	0,06	0,33	0,410	0,043	0,020	0,023	0,127	0,046	0,005	0,008	0,006
DOE*	0,09	0,34	0,450	0,028	0,016	0,032	0,121	0,054	0,009	0,010	0,006
EL E 61 B	0,070	0,500	0,800	0,020		0,020					

*Hemski sastav metala šava za TOE i DOE je određen eksperimentalno, dok je za FE preuzet iz kataloga.

2.2. Metode ispitivanja

Određivanje brzine korozije osnovnog metala i metala šava dobijenog primenom navedenih obloženih bazi nih elektroda izvršeno je pomoću sledećih elektrohemiskih tehnika: linearna polarizaciona otpornost (LPR), elektrohemiska impedansna spektroskopija (EIS) i voltametrija sa linearnom promenom potencijala (LSV).

Tehnikom LPR određuje se polarizaciona otpornost R_p metala u korozionoj sredini. Vrednost R_p je obrnuto proporcionalna gustini struje korozije j_{kor} , odnosno brzini korozije v_{kor} . Metal se polarizuje u uskoj oblasti potencijala ($E = \pm 10 \text{ mV}$) u odnosu na korozioni potencijal E_{kor} , polazeći od katodne prema anodnoj oblasti, uz registrovanje odgovarajuće struje. R_p se određuje kao nagib eksperimentalne krive $E-j$, na korozionom potencijalu. Na osnovu eksperimentalno određene vrednosti R_p izračuna se gustina struje korozije, odnosno brzina korozije metala [3].

EIS tehnika takođe omogućava određivanje vrednosti R_p , na osnovu čega se može izračunati j_{kor} , odnosno brzina korozije. Naizmenični potencijal male amplitudne saopštava se elektrohemiskom sistemu (metal u korozionoj sredini), u širokom opsegu frekvencija f (od 0,1 Hz do 100 kHz). Registrovane se odgovarajući odzivi u obliku naizmenične struje, a zatim određuju se elektrohemiska impedansa sistema Z , u zavisnosti od frekvencije. Na osnovu vrednosti elektrohemiske impedance pri vrlo visokim i

žena bazi na elektroda oznake EL E 61 B, sa kontrolisanim sadržajem vodonika, i dve elektrode koje su dobijene u laboratorijskim uslovima (tanko i debelo obložena bazi na elektroda). Zavarivanje fabričkog elektrodom izvršeno je pri struci $I = 130 \text{ A}$ i naponu $U = 25 \text{ V}$, dok je zavarivanje pomoću laboratorijskih elektroda izvršeno pri $I = 120 \text{ A}$ i $U = 25 \text{ V}$.

U cilju jednostavnosti, u daljem tekstu korišćene su sledeće oznake: osnovni metal – OM, tanko obložena elektroda – TOE, debelo obložena elektroda – DOE i fabrička elektroda – FE.

Hemski sastav metala šava (koji je formiran pomoću navedenih obloženih bazi nih elektroda) prikazan je u tabeli 1.

veoma niskim frekvencijama, dobija se vrednost R_p , koja dalje služi za izračunavanje gustine struje, odnosno brzine korozije metala [4].

Na osnovu poznatih vrednosti polarizacione otpornosti R_p , koje su eksperimentalno određene, gustina struje korozije može se izračunati pomoću Stern–Gearyeve jednačine:

$$j_{kor} = \frac{B}{R_p} \quad (1)$$

gde je B konstanta koja zavisi od vrednosti anodnog i katodnog Tafelovog nagiba b_a i b_c .

$$B = \frac{b_a \cdot b_c}{2.3 \cdot (b_a + b_c)} \quad (2)$$

LSV tehnika primenjuje se za dobijanje katodnih i anodnih krivih polarizacije. Metal, koji se nalazi u korozionoj sredini, polarizuje se u oblasti potencijala $E = \pm 0,250 \text{ V}$ u odnosu na E_{kor} , uz registrovanje odgovarajuće struje j . Iz dobijenog grafika $E - \log j$, gustina struje korozije j_{kor} može se dobiti direktno, ekstrapolacijom linearne dela anodne ili katodne krive polarizacije do korozionog potencijala E_{kor} .

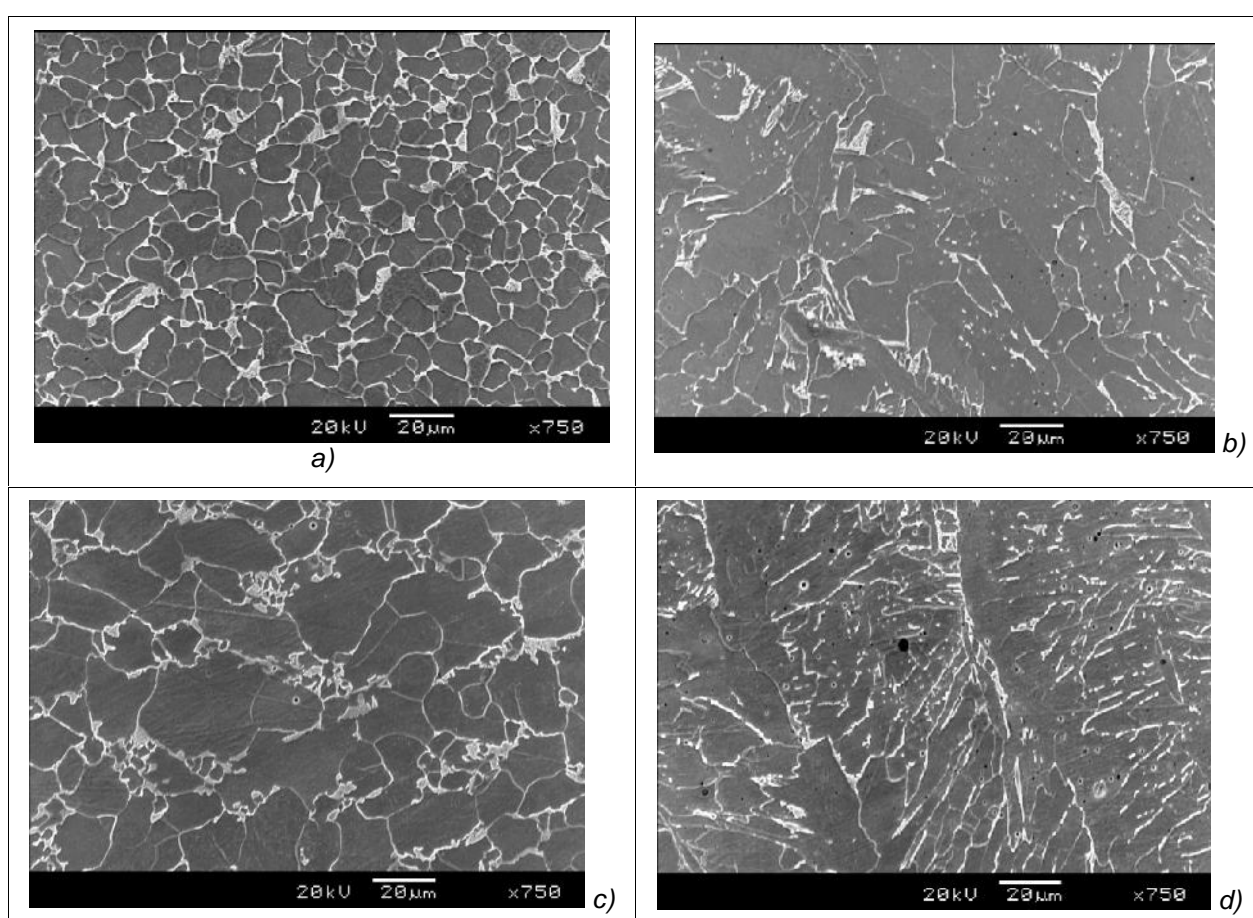
U ovom radu elektrohemiska ispitivanje izvršeno su pomoću potencijostata BIOLOGIC SP-200, u rastvoru natrijum sulfata ($0,5 \text{ mol/dm}^3 \text{ Na}_2\text{SO}_4 + \text{HCl}$, pH 2,5), na sobnoj temperaturi, u prisustvu atmosferskog kiseonika. Sastav rastvora za ispitivanje simulira industrijsku atmosferu, za koju

je karakteristично prisustvo sulfata, hlorida i niska pH vrednost. Korištena je elektrohemiska elija sa zasićenom kalomelovom elektrodom (ZKE) kao referentnom elektrodom i Pt folijom kao pomoćnom elektrodom. Uzorci od osnovnog metala i metala šava predstavljali su radnu elektrodu. Uzorci su pre unošenja u elektrohemisku eliju brušeni pomoću brusnih papira sa SiC (do završne finoće 1500), ispirani etanolom i osušeni na vruću. Pre početka polarizacionih merenja svaki uzorak je držan određeno vreme na potencijalu otvorenog kola, dok se uspostavi relativno stabilan E_{kor} . LPR

eksperimenti izvedeni su pri brzina promene potencijala 0.166 mV/s, dok su LSV eksperimenti izvršeni pri brzini promene potencijala 1 mV/s.

3. REZULTATI I DISKUSIJA

Na slici 1 prikazane su SEM mikrofotografije strukture osnovnog metala i metala šava pri korišćenju DOE elektrode (slike 1a i b) i TOE elektrode (slike 1c i d). Može se uočiti razlika u veličini kristalnih zrna u osnovnom metalu kao i razlika u strukturi metala šava.

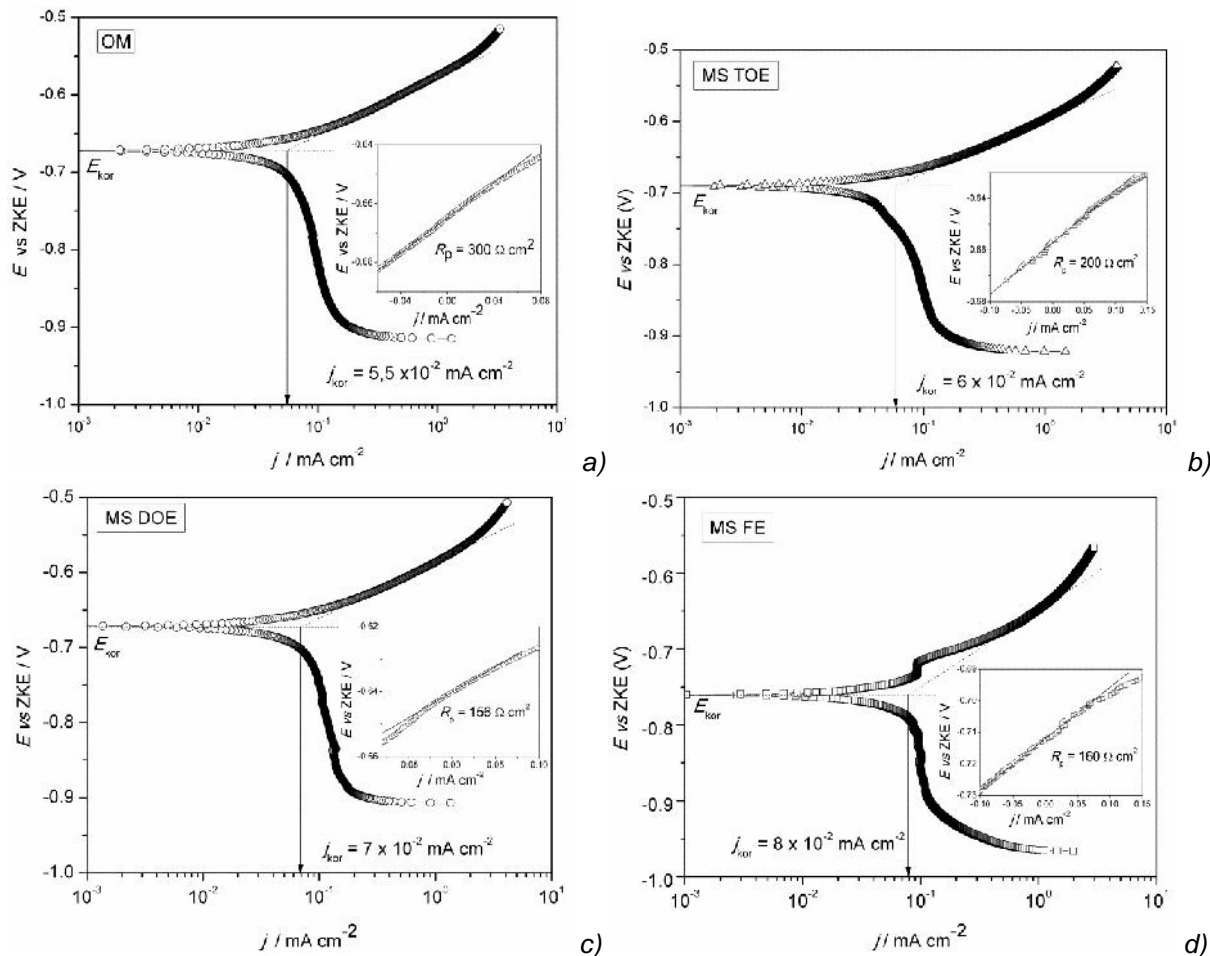


Slika 1 - SEM mikrofotografije: a) osnovni metal u blizini zavarenog spoja dobijenog uz primenu DOE elektrode, b) osnovni metal u blizini zavarenog spoja dobijenog uz primenu TOE elektrode, c) metal šava dobijen uz primenu DOE elektrode, d) metal šava dobijen uz primenu TOE elektrode

Na slici 2a-d prikazane su krive polarizacije dobijene LSV tehnikom na osnovnom metalu i metalu šava, koji je dobijen primenom različitih obloženih elektroda. Na iste cima na slici 2a-d prikazane su odgovarajuće $E-j$ zavisnosti u blizini E_{kor} , dobijene primenom LPR tehnike, kao i vrednosti polarizacione otpornosti R_p .

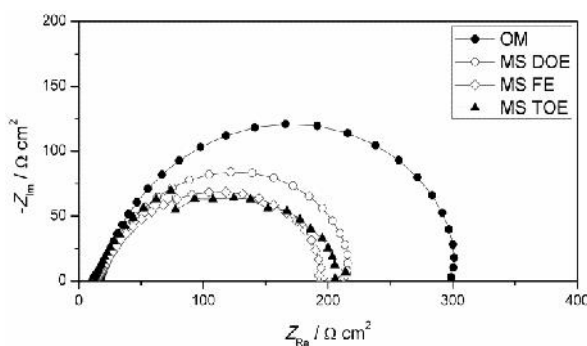
Gustina struje korozije j_{kor} određena je ekstrapolacijom anodnih krivih polarizacije do E_{kor} . Dobi-

jene vrednosti za j_{kor} osnovnog metala i metala šava prikazane su u tabeli 2. Kao što se vidi na slici 2a-d, Tafelov nagib anodne polarizacione krive b_a je jasno definisan i u skladu je sa literaturnim vrednostima [3]. U rastvoru u kom je su vršena ispitivanja ($\text{Na}_2\text{SO}_4 + \text{HCl}$, pH 2,5) katodna reakcija je aktivaciono kontrolisana, sa slabo izraženim linearnim delom (kao što se vidi na slici 2b). Pri daljoj katodnoj polarizaciji reakcija redukcije vodonika postaje difuziono kontrolisana [4].



Slika 2 - Krive polarizacije u rastvoru $\text{Na}_2\text{SO}_4 + \text{HCl}$ (pH 2,5). Ise ak: zavisnost $E-j$ u blizini E_{kor} i vrednost R_p . a) osnovni metal b) metal šava (TOE) c) metal šava (DOE) d) metal šava (FE)

Na slici 3 prikazani su Nyquist-ovi dijagrami, dobijeni EIS tehnikom, za osnovni metal i metal šava, dobijen pri zavarivanju fabri kom obloženom elektrodom, tanko obloženom elektrodom i debelo obloženom elektrodom.



Slika 3 - Zbirni Nyquist-ov dijagram u rastvoru $\text{Na}_2\text{SO}_4 + \text{HCl}$ (pH 2,5), za osnovni metal i metal šava, dobijen uz primenu TOE, DOE i FE elektroda

Iz Nyquist-ovog dijagrama određene su vrednosti polarizacione otpornosti R_p za osnovni metal i metal šava.

R_p vrednosti, određene LPR tehnikom i EIS tehnikom prikazane su u tabeli 2. Na osnovu ovih vrednosti izračunate su odgovarajuće gustine struje korozije j_{kor} (jedna ina 1). Vrednost konstante B za gvožđe, odnosno čelič, u dатој korozionoj sredini iznosi 16 mV, prema [5,6].

Vrednosti za gustinu struje korozije j_{kor} , dobijene LPR, EIS i LSV tehnikom preračunate su u brzinu korozije v_{kor} primenom Faraday-evog zakona, pomoći sledećeg izraza (ASTM 102):

$$v_{kor} = K_1 \cdot \frac{j_{kor}}{\rho} \cdot EW \quad (3)$$

gde je: $K_1 = 3,27 \cdot 10^{-3} \text{ mm g } \mu\text{A}^{-1} \text{ cm}^{-1} \text{ god}^{-1}$,

$$\rho = 7,86 \text{ g cm}^{-3}$$
 i $EW_{Fe} = W_{Fe}/n_{Fe} = 56/2 = 28$

Izračunate vrednosti gustine struje korozije j_{kor} i brzine korozije v_{kor} za osnovni metal i metal šava date su u tabeli 2.

Iz tabele 2. se vidi da je brzina korozije najmanja na osnovnom metalu (OM). Brzina korozije metala šava je veća od brzine korozije osnovnog metala. Brzina korozije metala šava dobijenog pomoći u tanko obložene elektrode (MS TOE) je manja

od brzine korozije metala šava dobijenog pomoći u debelo obložene (MŠ DOE) i fabričke elektrode (MŠ FE). Metal šava, dobijen pomoći u fabričke elektrode, ima najveće u brzinu korozije, određenu razliku itim elektrohemijskim tehnikama. Ovo može biti

posledica nedostatka legirajućih elemenata (Cr, Ni, itd.) u metalu šava, za razliku od metala šava koji je dobijen pomoći u laboratorijskih obloženih elektroda (tabela 1).

Tabela 2 - Brzina korozije osnovnog metala i metala šava koji je dobijen uz primenu obloženih bazinih elektroda

Metoda	LPR			EIS			LSV	
	Materijal	R_p (cm ⁻²)	j_{kor} (mA/cm ²)	V_{kor} (mm/god)	R_p (cm ⁻²)	j_{kor} (mA/cm ²)	V_{kor} (mm/god)	j_{kor} (mA/cm ²)
OM	300	0,053	0,62	290	0,055	0,64	0,055	0,64
MŠ TOE	200	0,080	0,93	190	0,084	0,98	0,06	0,70
MŠ DOE	156	0,103	1,20	205	0,078	0,91	0,07	0,81
MŠ FE	160	0,100	1,16	180	0,089	1,04	0,08	0,93

Vrednosti za brzinu korozije osnovnog metala i metala šava, dobijene pomoći u LPR, EIS i LSV tehnike, su u saglasnosti. Ovo pokazuje da se sve navedene tehnike mogu primeniti za određivanje brzine korozije metala šava u zavarenom spoju koji je dobijen pri zavarivanju obloženom bazi nom elektrodom. Pri tome se rezultati mogu dobiti za najkratko vreme pomoći u LPR tehnike (oko 15 minuta), dok primena EIS i LSV tehnike zahteva više vremena (30 do 60 minuta).

sledica nedostatka legirajućih elemenata (Cr, Ni, itd.) u metalu šava.

6. Sve navedene elektrohemijске tehnike mogu se primeniti za određivanje brzine opštete korozije osnovnog metala i metala šava.

Zahvalnica

Ovaj rad je finansijski podržan od strane Ministarstva za prosvetu, nauku i tehnološki razvoj R. Srbije preko projekata TR 34016 i TR 34028.

5. REFERENCE

- Izvršeno je određivanje brzine korozije osnovnog metala (elika) i metala šava u zavarenim spojevima koji su dobijeni uz primenu obložene bazi ne elektrode, sa razlikom debljinom obloge.
- Za određivanje brzine korozije korišćene su elektrohemijске metode: linearna polarizaciona otpornost, elektrohemijска impedansna spektroskopija i voltametrija sa linearnom promenom potencijala.
- Brzina korozije je najmanja na osnovnom metalu.
- Brzina korozije metala šava dobijenog pomoći u tanko obložene elektrode je manja od brzine korozije metala šava dobijenog pomoći u debelo obložene i fabričke elektrode.
- Metal šava, dobijen pomoći u fabričke elektrode, ima najveće u brzinu korozije, što može biti posledica nedostatka legirajućih elemenata (Cr, Ni, itd.) u metalu šava, za razliku od metala šava koji je dobijen pomoći u laboratorijskih obloženih elektroda (tabela 1).

- [1] M.Milotti (2008) Priručnik za zavarivanje, 2. Dopunjeno izdanje, Saobraćajni fakultet Dobojski, Dobojski.
- [2] J.R.Davis (2006) Corrosion of Weldments, ASM International, Materials Park, Ohio.
- [3] E. McCafferty (2010) Introduction to Corrosion Science, Springer, New York.
- [4] E.E.Stansbury, R.A.Buchanan (2000) Fundamentals of Electrochemical Corrosion, ASM International, Materials Park, Ohio.
- [5] F.Mansfeld (1976) The Polarisation Resistance Technique for Measuring Corrosion Currents, in Advances in Corrosion Science and Technology, Volume 6, Ed. Fontana M.G. and Staehle R.W., Plenum Press, New York and London, pp. 163-262.
- [6] NACE Corrosion Engineer's Reference Book (2002) Ed. Baboian R., NACE International, Houston, Texas, p. 89.

ABSTRACT

DETERMINATION OF THE WELD METAL CORROSION RATE USING ELECTROCHEMICAL TECHNIQUES

To determine corrosion rate of the base metal and weld metal were applied electrochemical techniques: linear polarization resistance, linear sweep voltammetry and electrochemical impedance spectroscopy. The samples were obtained by arc welding steel boiler plate using coated basic electrode. Factory electrode and electrodes, which are produced in the laboratory thinly and thick coated basic electrodes, were used for welding. It was found that the corrosion rate of the weld metal was greater than the corrosion rate of the base metal. The corrosion rate of weld metal obtained by thinly coated electrodes is less than the corrosion rate of weld metal obtained by thick coated basic and factory-coated electrodes. The corrosion rates, determined by different electrochemical techniques are in agreement.

Keywords: welded joint, corrosion, corrosion rate, electrochemical methods.

Scientific paper

Paper received: 22. 04. 2015.

Paper accepted: 16. 06. 2015.

Paper is available on the website: www.idk.org.rs/casopis